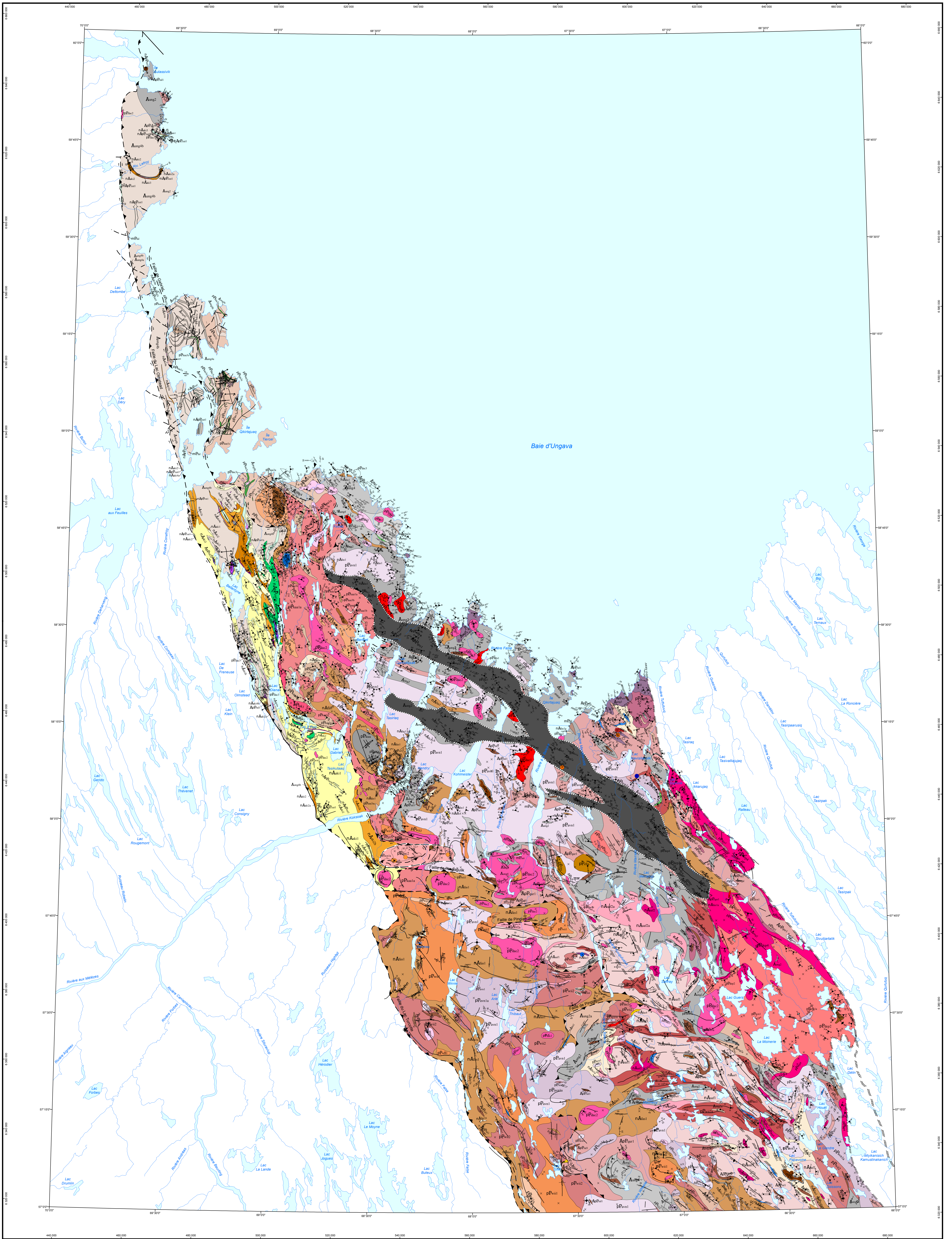


Domaine lithotectonique de Baie, sud-est de la Province de Churchill, Québec, Canada : synthèse de la géologie



LÉGENDE STRATIGRAPHIQUE

PROVINCE DE CHURCHILL

DOMAINE LITHOTECTONIQUE DE BAIE

MÉSOPTÉROZOÏQUE

Essaim de Falco	mP ₁	Gabbro à olivine et gabbroïte à olivine, subophitique, massifs et à grain fin
Suite de Soisson (1312 à 1318 Ma)	pP ₁	Tonalite, gabbro à olivine, gabbro et gabbroïte subophitiques, un peu de monodiorite subophitique
PALEOPTÉROZOÏQUE		
Suite de Bonobou (1753 à 1748 Ma)	pP ₂	Granite porphyroïque massif, à biotite-muscovite
	pP ₃	Granite rose massif, à biotite-muscovite
	pP ₄	Granite gris finement grenu, homogène, massif ou peu folié, à biotite-muscovite
Suite d'Arnaud (1817 à 1811 Ma, Davis et al., 2014, 2016)	pP ₅	Tonalite et granite blancs, massifs à foliés, à biotite
	pP ₆	Tonalite et granite blancs, hétérogènes, à schistères de biotite et enclaves variées
Complexe de Mastik (1838 à 1827 Ma)	pP ₇	Granitoïde riche en quartz, granoblastique, folié à mylonitique
	pP ₈	Amphibolite d'origine intrusive et amphibolite quartzeuse à hornblende
	pP ₉	Leucogabbro, leucogabbro, diorite, monzonite et anorthosite, rhyolites, mylonitiques, à hornblende-biotite-circophrasie
	pP ₁₀	Gabbro, gabbroïte et diopside-biotite, à diopside-orthopyroxène
	pP ₁₁	Métagabbro ferrifère à grenat-magnétite
	pP ₁₂	Gneiss à grenat-hornblende-biotite
	pP ₁₃	Diorite et diorite quartzeuse à orthopyroxène, gneissiques ou rubanées
	pP ₁₄	Diorite et diorite quartzeuse granoblastiques, gneissiques, rubanées, mylonitiques ou homogènes, à amphibole, un peu de tonalite
Suite de Tasiakuk	pP ₁₅	Granodiorite et tonalite porphyroïques, foliées à mylonitiques, à biotite-hornblende

Pluton de Choumatt	pP ₁₆	Acrotroctite massive et granoblastique, à clinopyroxène-hornblende
Pluton de Kujjuak (1169 à 1133 Ma, Corrigan, communication personnelle, 2016; Pennsult et Hynes, 1990)	pP ₁₇	Tonalite et granodiorite foliées à gneissiques, à biotite et hornblende, un peu de diorite et de granite
Suite de Wintou (1028 à 1032 Ma, Corrigan, communication personnelle, 2016; Davis et al., 2015)	pP ₁₈	Diorite et monzonite anorthitique, à biotite et hornblende
	pP ₁₉	Diorite et monzonite anorthitique, à biotite-grenat et sillimanite à kyanite
	pP ₂₀	Diorite homogène à structure porphyroïde, à biotite et hornblende
Séquence de De Pau	pP ₂₁	Diorite homogène hétérogène, à biotite et hornblende
Suite charnockitique de De Pau (1140 à 1011 Ma)	pP ₂₂	Leucogabbro, leucogabbroïte, anorthosite et anorthosite quartzeuse
Suite granitique de De Pau (1022 à 1008 Ma)	pP ₂₃	Gabbro et monzonite magnésiques, homogènes, grenus, à biotite-circophrasie-hornblende
	pP ₂₄	Microgabbro à biotite et hornblende; granite à biotite; leucogabbro massif, à grain moyen à grossier
	pP ₂₅	Granite homogène renfermant de nombreuses enclaves de gneiss, de magnétite et de diorite
	pP ₂₆	Granodiorite et monodiorite quartzeuse à structure porphyroïde, à biotite et hornblende
	pP ₂₇	Granodiorite à monodiorite quartzeuse, à biotite et hornblende
NEORHÉEN À PALEOPTÉROZOÏQUE		
Suite de Cicut	nA ₁	Amphibolite foliée, rubanée, à grain fin à moyen, à hornblende et grenat
	nA ₂	Métaschiste massif ou coussin, métacarbonate à fragments de lave volcanique
	nA ₃	Amphibolite rubanée, à hornblende-circophrasie-carbonate à grenat, mélyoschiste jusqu'à intermédiaire, rubanée, à grenat-biotite-hornblende
	nA ₄	Amphibolite très finement grenue à spinellitique, schisteuse, à hornblende-actinolite à cummingtonite

Complexe de Churchill (2014 à 2004 Ma, Augland et al., 2010; Corrigan, communication personnelle, 2016)	nA ₅	Roche migmatitique de composition basaltique, à structure stratifiée, en réseau ou à schistères de biotite
Suite de Rabeau	nA ₆	Pyroxène et peridotite amphibolitiques
	nA ₇	Schiste arène et osané, à hornblende-augite-fuchsite-pyroxène
	nA ₈	Gabbro et diorite amphibolitiques, homogènes, granoblastiques, à hornblende-circophrasie-biotite
	nA ₉	Gabbro et diorite amphibolitiques, homogènes, granoblastiques, à hornblende-grenat-circophrasie-biotite
Suite de Fane (c. 2478 à 2472 Ma, Godel et al., en préparation)	nA ₁₀	Quartzite massif, granoblastique, à grain fin
	nA ₁₁	Formation de fer à squelette, rubanée, un peu de formation de fer à stéatite, rubanée
	nA ₁₂	Roche calcosulfatée rubanée et granoblastique
	nA ₁₃	Paragneiss magnésitique, granoblastique, rubané, à biotite et hornblende
	nA ₁₄	Paragneiss magnésitique, granoblastique, rubané, à biotite et grenat
Suite d'Alaknui	nA ₁₅	Matrice dolomitique, matrice calcitique de matrice à biotite
	nA ₁₆	Paragneiss calcosulfatés rubanés à diopside, un peu de matrice
	nA ₁₇	Formation de fer à schistés et à squelette, un peu de formation de fer à sulfures
	nA ₁₈	Paragneiss calcosulfatés rubanés, granoblastiques, à grain fin, à biotite-muscovite
	nA ₁₉	Paragneiss à biotite-grenat et kyanite à sillimanite à saumâtre
	nA ₂₀	Paragneiss et paragneiss rubanés, granoblastiques, à grain fin, à biotite-muscovite-sillimanite
	nA ₂₁	Paragneiss et paragneiss rubanés, granoblastiques, à grain fin, à biotite-muscovite-grenat
	nA ₂₂	Paragneiss magnésitique, homogène, granoblastique, à biotite-muscovite

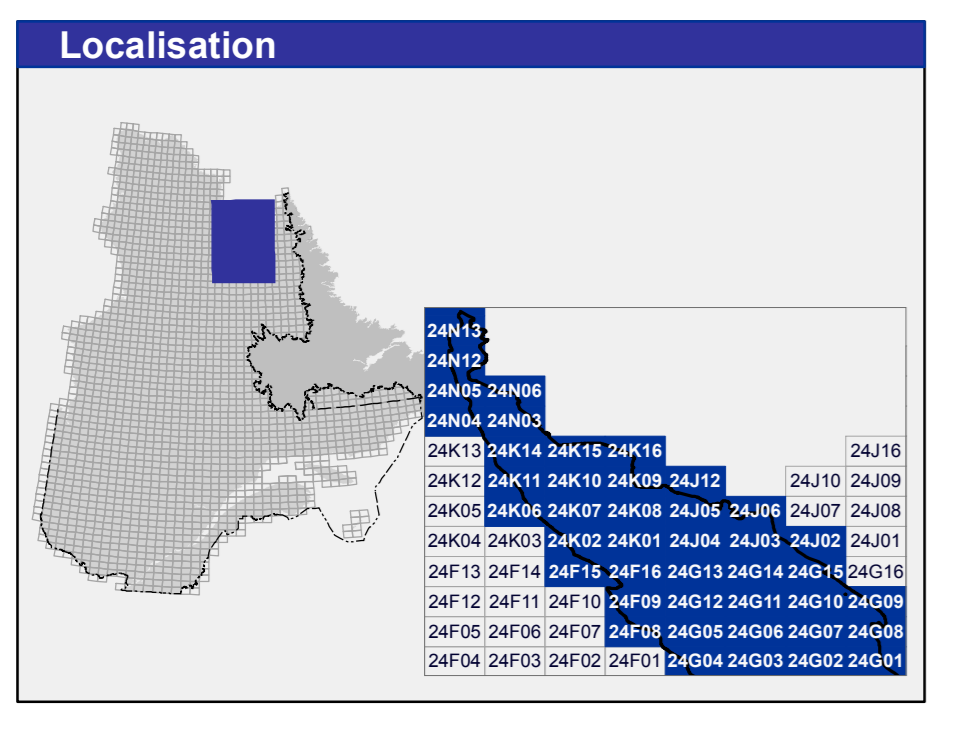
Suite de Saffroy (2004 à 2003 Ma, Davis et al., 2015; Rayner et al., 2017; Corrigan, communication personnelle, 2017)	nA ₂₃	Granite homogène, massif à peu folié, à biotite-magnétite
	nA ₂₄	Granite homogène avec de nombreuses enclaves de gneiss, à biotite-magnétite
	nA ₂₅	Monzonites quartzeuses foliées, granoblastiques, à biotite-magnétite-hornblende à clinopyroxène, un peu de granodiorite, de monodiorite quartzeuse et de microgabbro
Complexe d'Ungava (2550 à 2552 Ma)	nA ₂₆	Gneiss granitique à biotite et hornblende
	nA ₂₇	Gneiss granitique olivine, rubané, à biotite-muscovite
	nA ₂₈	Gneiss granitique ocellé de gneiss à microcline-biotite
	nA ₂₉	Gneiss tonalitique renfermant plus de 25 % de rubans de granite rose
	nA ₃₀	Gneiss tonalitique à rubans bianchères, folié, à biotite et amphibole
	nA ₃₁	Gneiss dioritique à hornblende-biotite à clinopyroxène
	nA ₃₂	Gneiss rubané de composition tonalitique à dioritique, à hornblende-biotite

ZONE FAVORABLE À L'EXPLORATION MINIÈRE	
	Éléments du groupe des terres rares
	Nickel
	Vanadium

DOMAINE STRUCTURAL	
	Zone de collision

INDICE ET GÎTE	
	Argent, cuivre, fer
	Nickel, autres éléments de terres rares
	Uranium, vanadium

Cette carte géologique en format PDF comporte des coupes (ou coupes) qui représentent les divers éléments du document (zones géologiques, hydrographes, affleurements de gabbro, etc.). Ces coupes peuvent être affectées ou masquées dans le logiciel. Cliquez sur l'icône de l'onglet "Afficher" ou "Masquer". Les symboles et abréviations utilisés sur cette carte sont décrits dans la publication DV 2014-06 du ministère de l'Énergie et des Ressources naturelles.



Métadonnées	Ellipsoïde CRS 80
Surface de référence géologique :	NAD 83 compatible avec le système mondial WGS 84
Système de référence géologique :	Projection cartographique
Altitude d'origine :	Longueur d'origine
Latitude d'origine :	0°

Données	Base de données géographiques et sémantiques (GSDA 10)
----------------	--

Organisme	Ministère de l'Énergie et des Ressources naturelles
------------------	---

Réalisation	Isabelle Lafrance, Marc-Anthoine Varier, Benoit Charrette (2017)
Références	Glavin, R. (1995). MB 55-21. Hydro-Québec. 11 p. (1995). RG 2011-03. Lafrance, I. et al. (2015). RG 2015-01. Lafrance, I. et al. (2016). RG 2016-01. Lafrance, I. et al. (2017). RG 2017-01. Simard, S. et al. (2015). RG 2015-04.
Assistance technique	Julie Saucy
Production	Ministère de l'Énergie et des Ressources naturelles
Distribution	Ministère de l'Énergie et des Ressources naturelles, Direction de l'information géographique du Québec
Le présent document n'a aucune priorité légale	© Gouvernement du Québec, 7 mai 2020

BG 2020-07-C01

Carte du Bulletin géologique : <http://gis.mines.gouv.qc.ca/bulletins/geologiques/Churchill/Baie/>

Pour obtenir les données les plus récentes concernant cette région, nous vous suggérons de consulter les produits géométriques du Système d'information géographique du Québec (SIGÉDQ).